

POPULACIJSKA GENETIKA IMOTSKE GAOVICE

(Delminichthys adspersus)

Anja Palandačič, Gašper Pustovrh i
Aleš Snoj

Univerza v Ljubljani, Biotehniška fakulteta, Oddelek za zootehniko

Gaovice- opće ime za mnogobrojne vrste

- Na području Hrvatske i Bosne i Hercegovine – Dinarski krš.
- Postoji (najmanje) 10 endemskih vrsta.
- Zajedničko im je da su relativno neistražene- biologija i ekologija.
- Žive u stalnim i povremenim izvorima.
- Periodična kolonizacija špilja (do 6 mjeseci godišnje!)
- Evolucijsko stare vrste (srednji miocen -13 milijuna godina).
- Geografsko jedne od najizoliranijih vrsta ciprinida u Europi in zapadnoj Aziji.

PRIJE

(LJETO)



POSLIJE

(JESEN)



Freyhof i
suradnici,
2006.
NOVA
TAKSONOMIJA

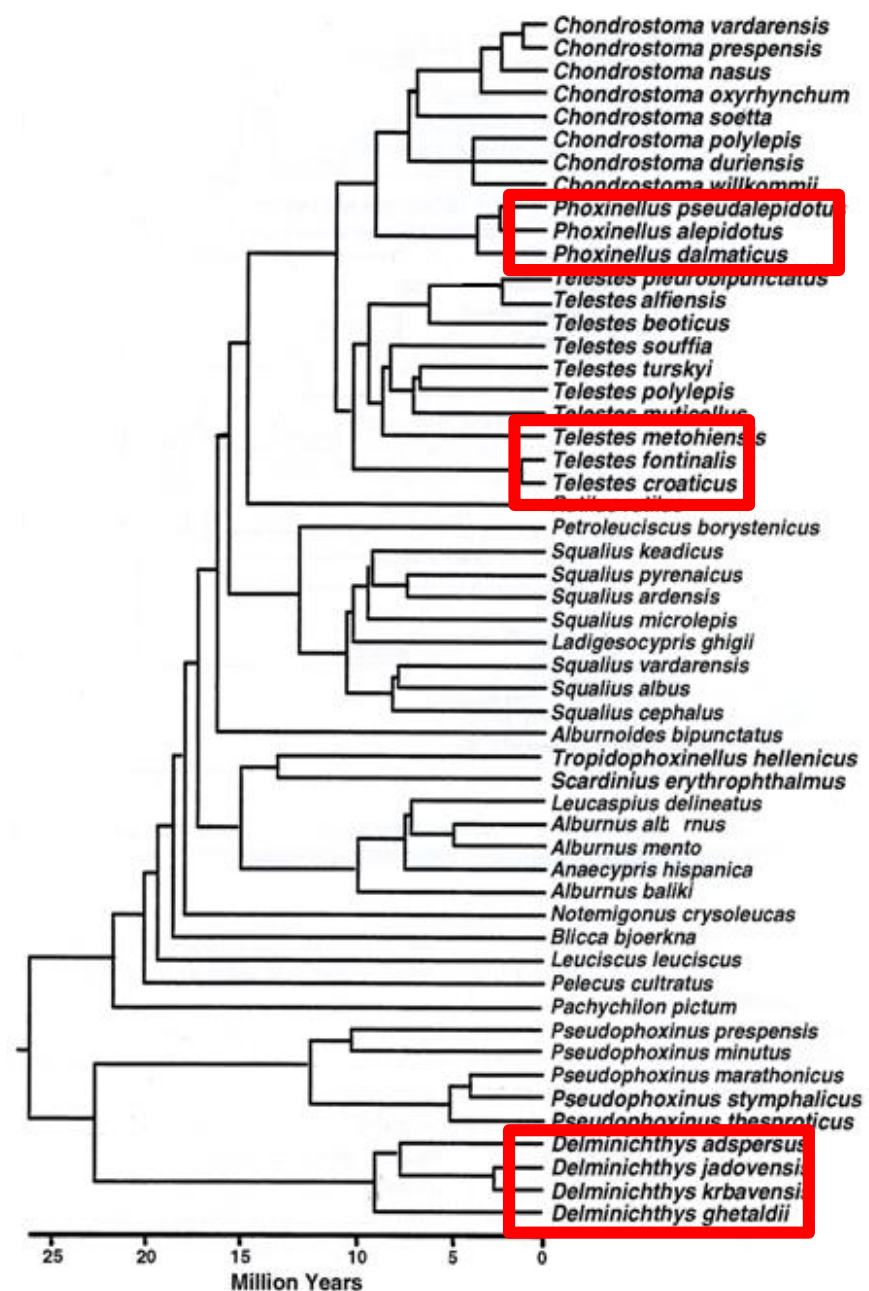
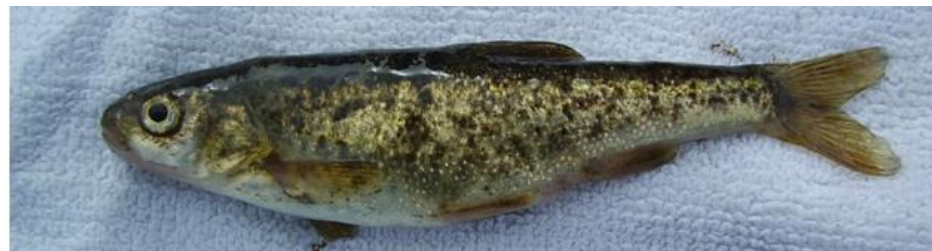


Fig. 2. Clock-constrained ML tree (chronogram) showing the cladogenesis of cyprinid taxa examined. The tree was constructed under the GTR+G+I model ($I = 0.844$, proportion of invariable sites = 0.512). The node ages were estimated according to Sanderson (1997) nonparametric rate smoothing (NPRS) method using TreeEdit and PAUP*. The scale bar below the tree shows the time scale in millions of years resulting from a calibration of the molecular clock based on the opening of the Strait of Korinthos (see text). The corresponding split between *Telestes pleurobipunctatus* from the Arachthos River and *T. alfiensis* from the Alfios River is indicated (arrow).

Imotsku gaovicu su Freyhof i suradnici (2006.) zajedno s još tri vrste gaovica (*Ph. ghetaldii*, *Ph. krbavensis* in *Ph. jadovensis*) razvrstili u novi rod-
Delminichthys.

Phoxinellus adpersus → *Delminichthys adpersus*



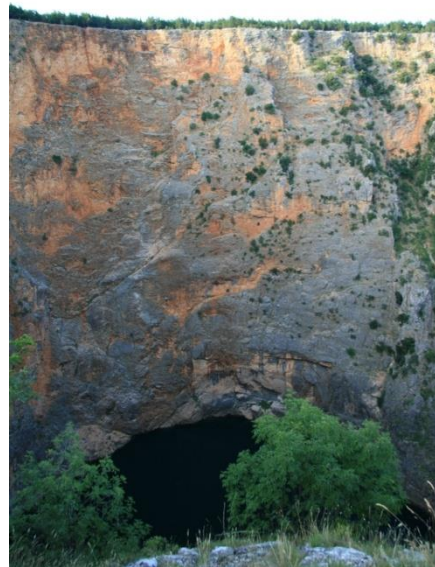
- Sve vrste gaovica imaju fragmentirano stanište, što je najizraženije kod imotske gaovice.



- Ona naseljava izvore i podzemne vode od Imotskog polja na sjeveru do Bačinskih jezera kod Ploča na jugu.
- Zbog geografske fragmentiranosti vrste, došlo je do pojave više populacija.



VRLJIKA



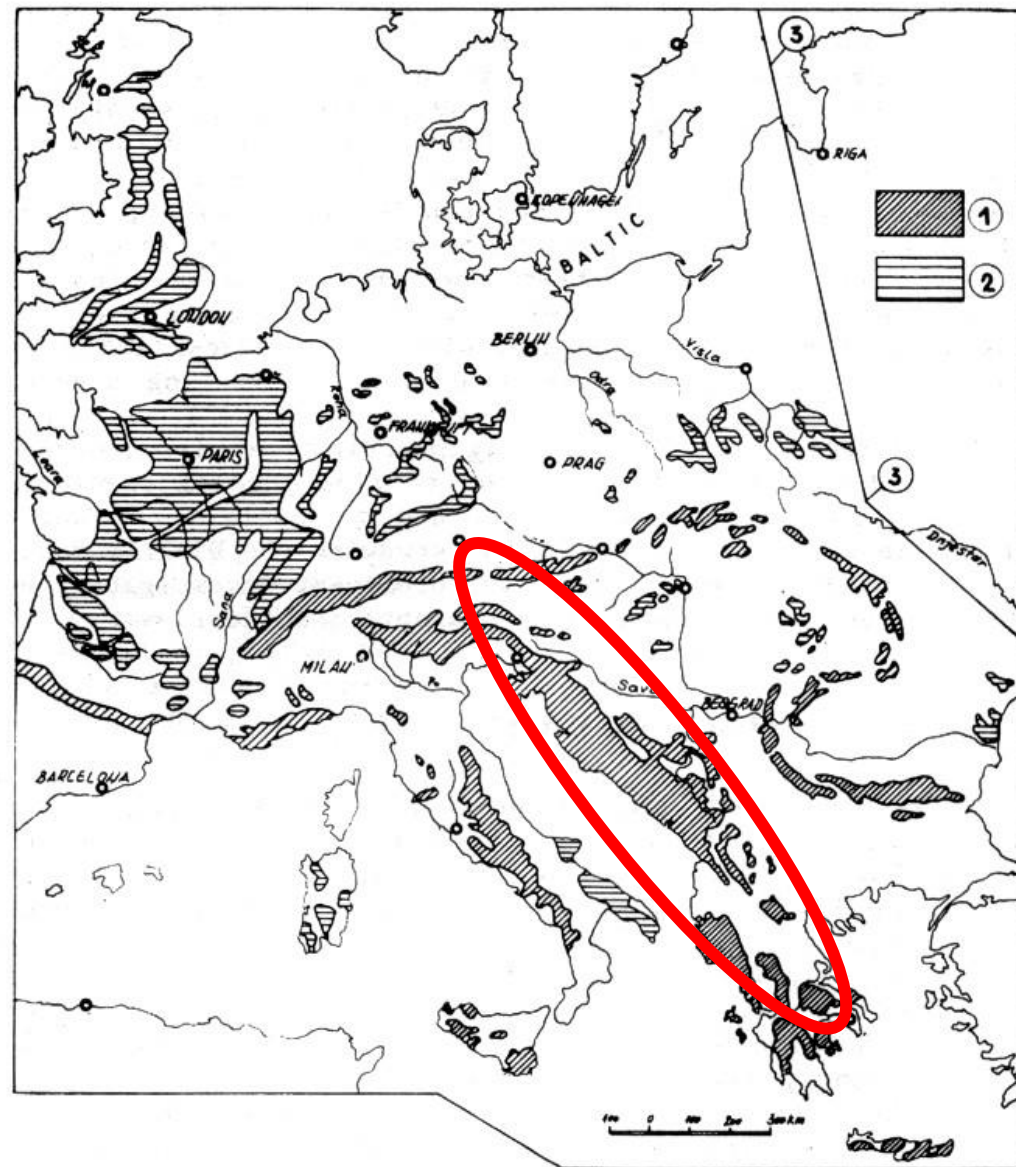
CRVENO JEZERO



PROLOŠKO BLATO

Dinarski Krš

- Hidrološki sistemi u kršu su složeni.
- Podzemne veze nisu uvijek poznate.
- Poplave, suše.
- Jako osjetljiv sistem.



Distribution of karst areas in the western and central Europe: (1) Karst of geosynclinal regions; (2) Karst of platforms and young tectonic depressions; and (3) The boundary of karst terranes.

Geologija (i hidrogeologija) krša – Krš Dinarida, Mladen Juračić, Geološki odsjek PMF-a, Sveučilište u Zagrebu 2006/07

Krš + ekologija gaovica= HIPOTEZA

- Vrsta imotska gaovica (*Delminichthys adspersus*) predstavlja jednu panmiktičnu populaciju.
- Jedinke migriraju između različitih lokacija po površinskim i podzemnim vezama.

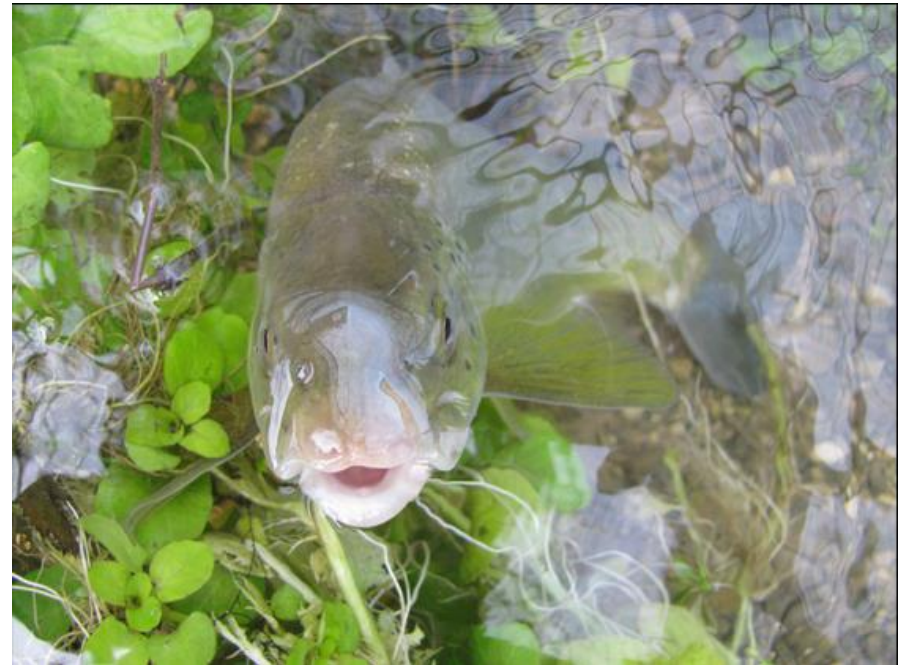
Iz literature...



© Pavel Krásenský

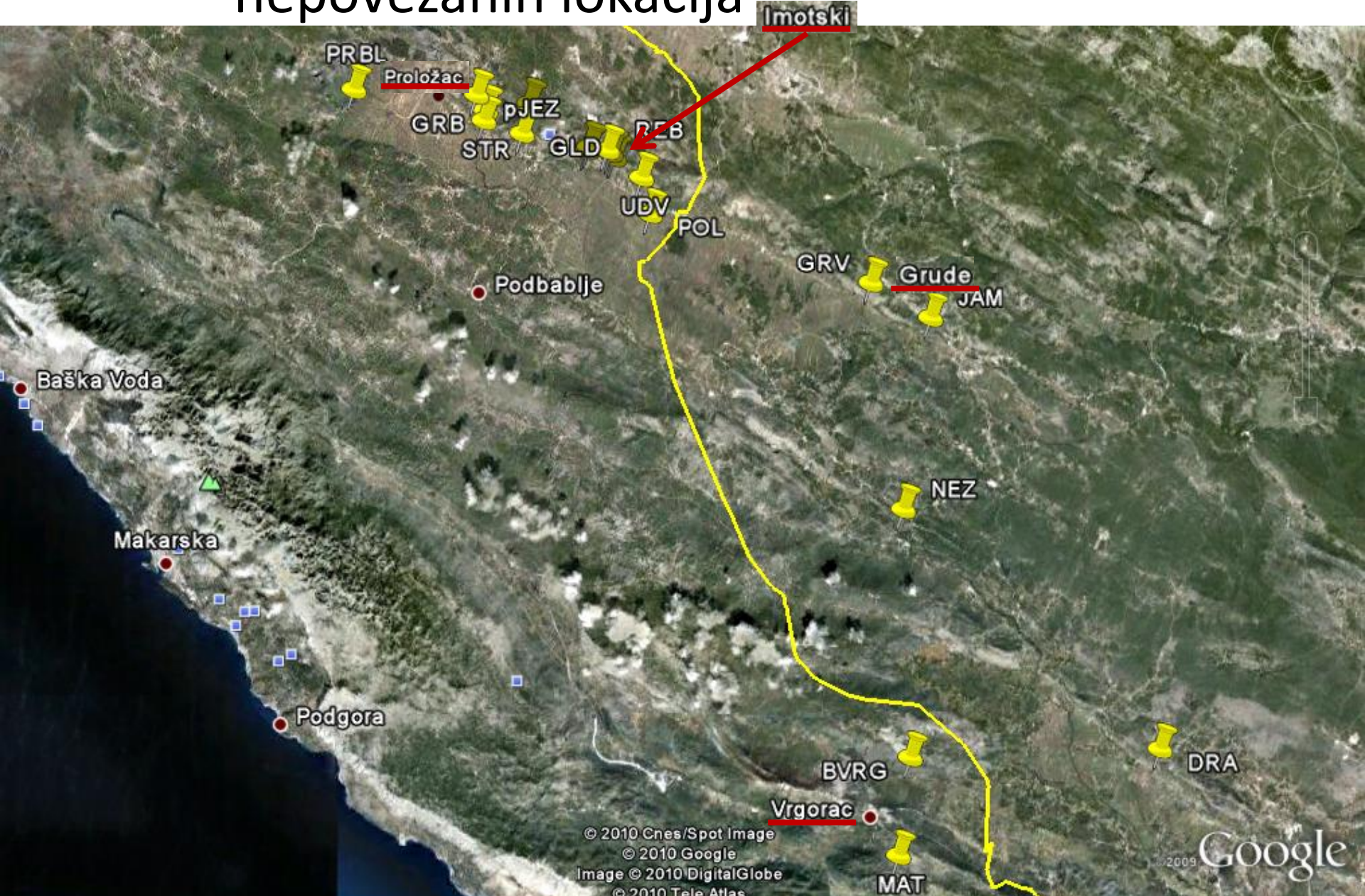
www.naturifoto.cz

Asellus aquaticus

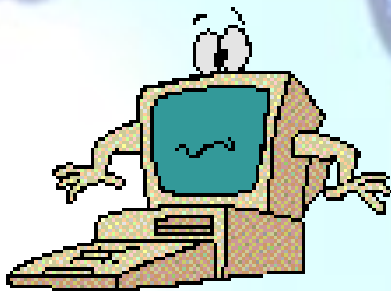


Salmo obtusirostris

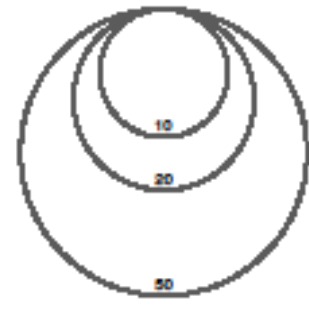
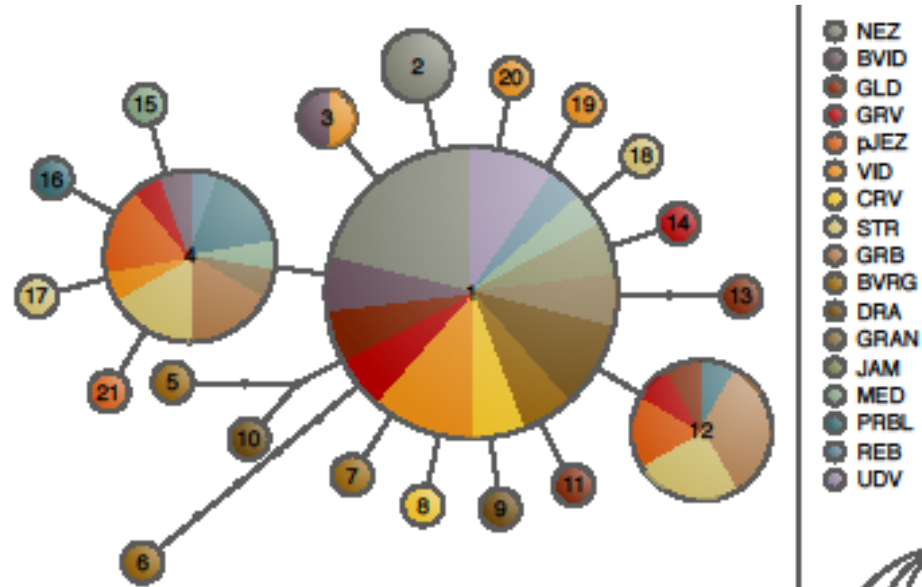
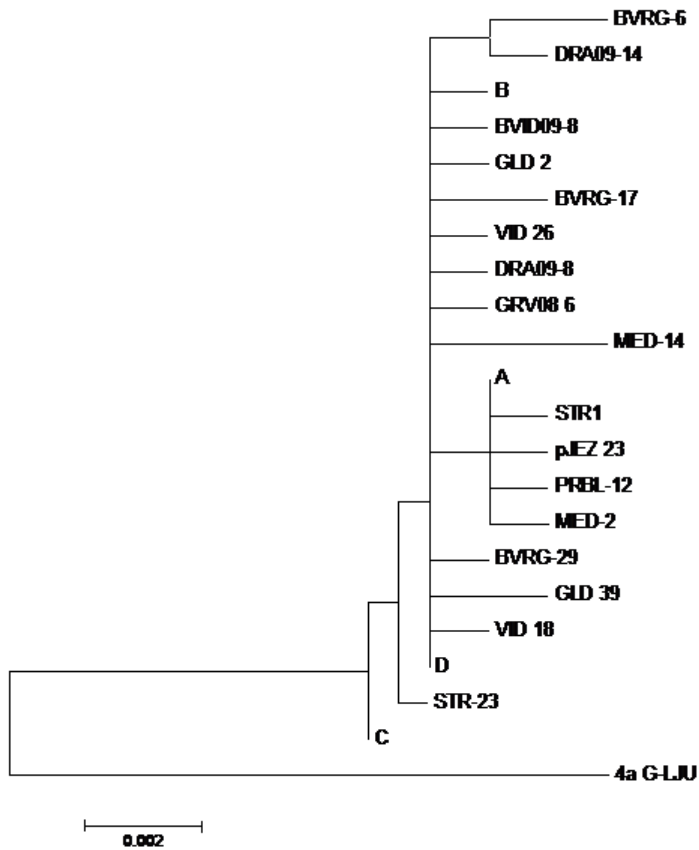
Metode: Uzorci iz različitih, površinski povezanih i nepovezanih lokacija



Metode: DNK (mitohondrijska, mikrosateliti) – “riblja forenzika” i računalna analiza



Rezultati- MITOHONDRIJSKA DNK



A	PRBL-6, PRBL-16, PRBL-20, pJEZ-12, pJEZ-15, pJEZ-21, GRB-11, GRB-12, GRB-20, GRV08-7, GRV-13, STR-2, STR-3, STR-6, REB-14, BVID-2, GRAN-1, MED-11
B	GRB-1, GRB-10, GRB-16, GRV08-4, PRBL-14, GLD-36, STR-15, STR-17, STR-20, pJEZ-9, pJEZ09-10, GRV08-4, PRBL-14, GLD-36
C	1d NEZ, 1h NEZ, 1f NEZ
D	CRV-1, CRV-2, CRV-3, CRV-4, CRV-5, 1a, 1b, 1c, 1e, 1g, 1i, 1j, 1k, NEZ09-18, NEZ09-24, DRA09-2, DRA09-6, DRA09-9, DRA09-11, DRA09-10, DRA09-11, GLD-5, GLD-10, GLD-15, VID-3, VID-8, VID-19, GRV-4, GRV08-13, GRV08-14, UDV-6, UDV-10, UDV15, UDV-16, JAM-14, JAM-21, JAM-22, JAM-46, BVRG-11, BVRG-12, BVRG-19, MED-1, MED-13, REB-7, REB-19, BVID-1, BVID09-7, BVID09-1, GRAN-9, GRAN-22, GRAN-24, POL-1

Rezultati-MIKROSATELITI

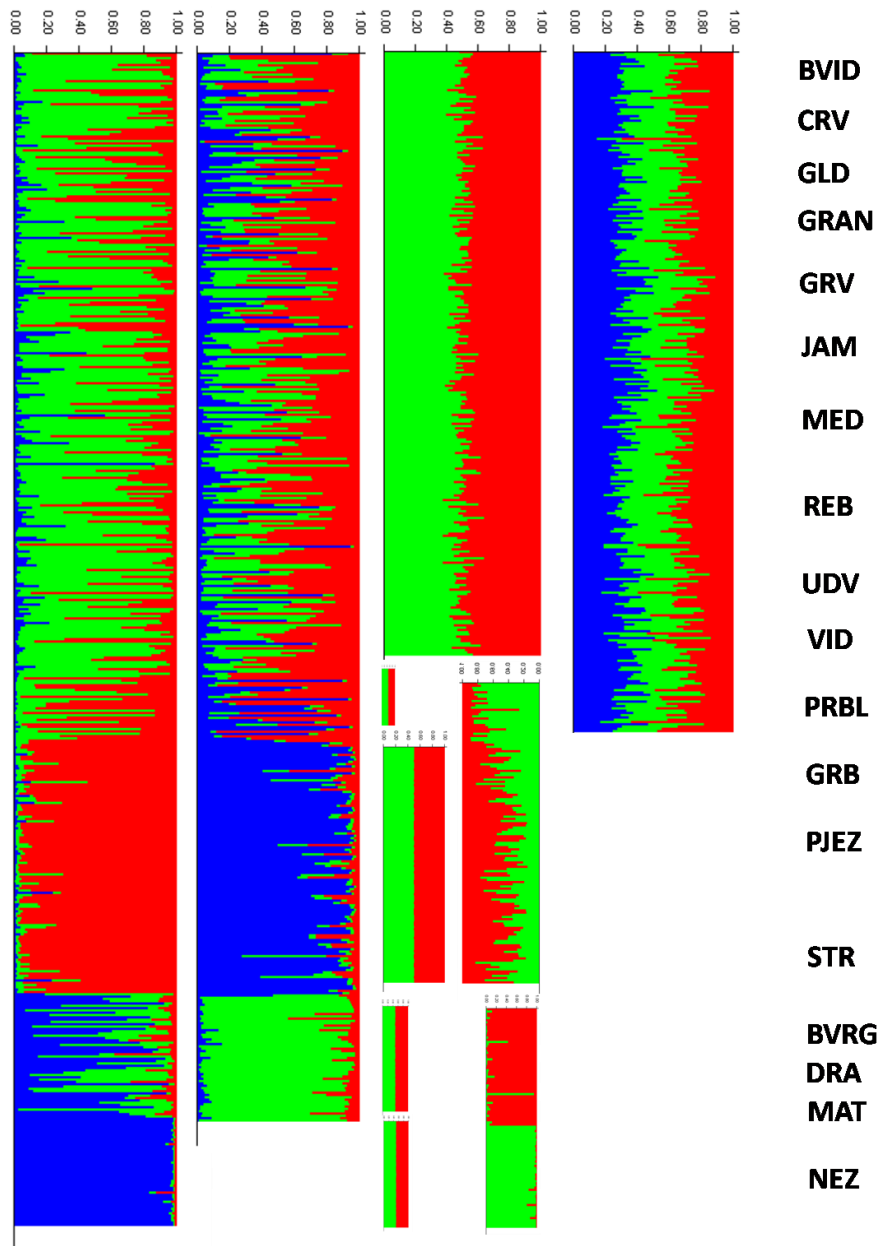
PAIRWISE FST-s

	BVID	BVRG	CRV	DRA	GLD	GRAN	GRB	GRV	JAM	MAT	MED	NEZ	PJEZ	PRBL	REB	STR
BVID	0.0000	0.0490	0.0343	0.0361	0.0091	0.0018	0.0533	-0.0038	0.0079	0.0529	0.0021	0.1139	0.0630	0.0352	0.0054	0.0543
BVRG	***	0.0000	0.0472	0.0018	0.0381	0.0397	0.0697	0.0336	0.0354	-0.0074	0.0324	0.0723	0.0895	0.0706	0.0377	0.0775
CRV	NS	**	0.0000	0.0230	0.0111	0.0217	0.0459	0.0168	0.0200	0.0621	0.0115	0.1465	0.0707	0.0310	0.0036	0.0416
DRA	***	NS	NS	0.0000	0.0292	0.0211	0.0699	0.0254	0.0252	0.0038	0.0204	0.0762	0.0893	0.0589	0.0191	0.0743
GLD	NS	***	NS	***	0.0000	0.0058	0.0277	0.0010	0.0087	0.0397	-0.0027	0.1207	0.0404	0.0264	0.0016	0.0311
GRAN	NS	***	NS	***	NS	0.0000	0.0523	-0.0048	0.0028	0.0404	-0.0076	0.1213	0.0621	0.0327	0.0042	0.0509
GRB	***	***	**	***	***	***	0.0000	0.0498	0.0439	0.0982	0.0404	0.1704	0.0041	0.0246	0.0419	-0.0001
GRV	NS	***	NS	**	NS	NS	***	0.0000	-0.0023	0.0410	-0.0043	0.1079	0.0618	0.0357	0.0022	0.0494
JAM	NS	***	NS	***	**	NS	***	NS	0.0000	0.0443	0.0010	0.1127	0.0527	0.0268	0.0012	0.0378
MAT	NA	NA	0.0000	0.0400	0.0563	0.1230	0.0985	0.0474	0.1074							
MED	NS	***	NS	**	NS	NS	**	NS	NS	NA	0.0000	0.1222	0.0497	0.0251	-0.0085	0.0357
NEZ	***	***	**	***	***	***	***	***	***	NA	***	0.0000	0.1876	0.1757	0.1180	0.1842
PJEZ	***	***	***	***	***	***	NS	***	***	NA	***	***	0.0000	0.0272	0.0495	-0.0051
PRBL	**	***	NS	***	***	*	**	*	*	NA	NS	***	***	0.0000	0.0251	0.0162
REB	NS	***	NS	**	NS	NS	***	NS	NS	NA	NS	***	***	*	0.0000	0.0370
STR	**	***	NS	***	**	***	NS	**	NS	NA	NS	***	NS	NS	NS	0.0000
UDV	NS	***	NS	***	***	NS	***	NS	NS	NA	NS	***	***	***	NS	**
VID	NS	***	NS	***	NS	NS	***	NS	NS	NA	NS	***	***	***	NS	*

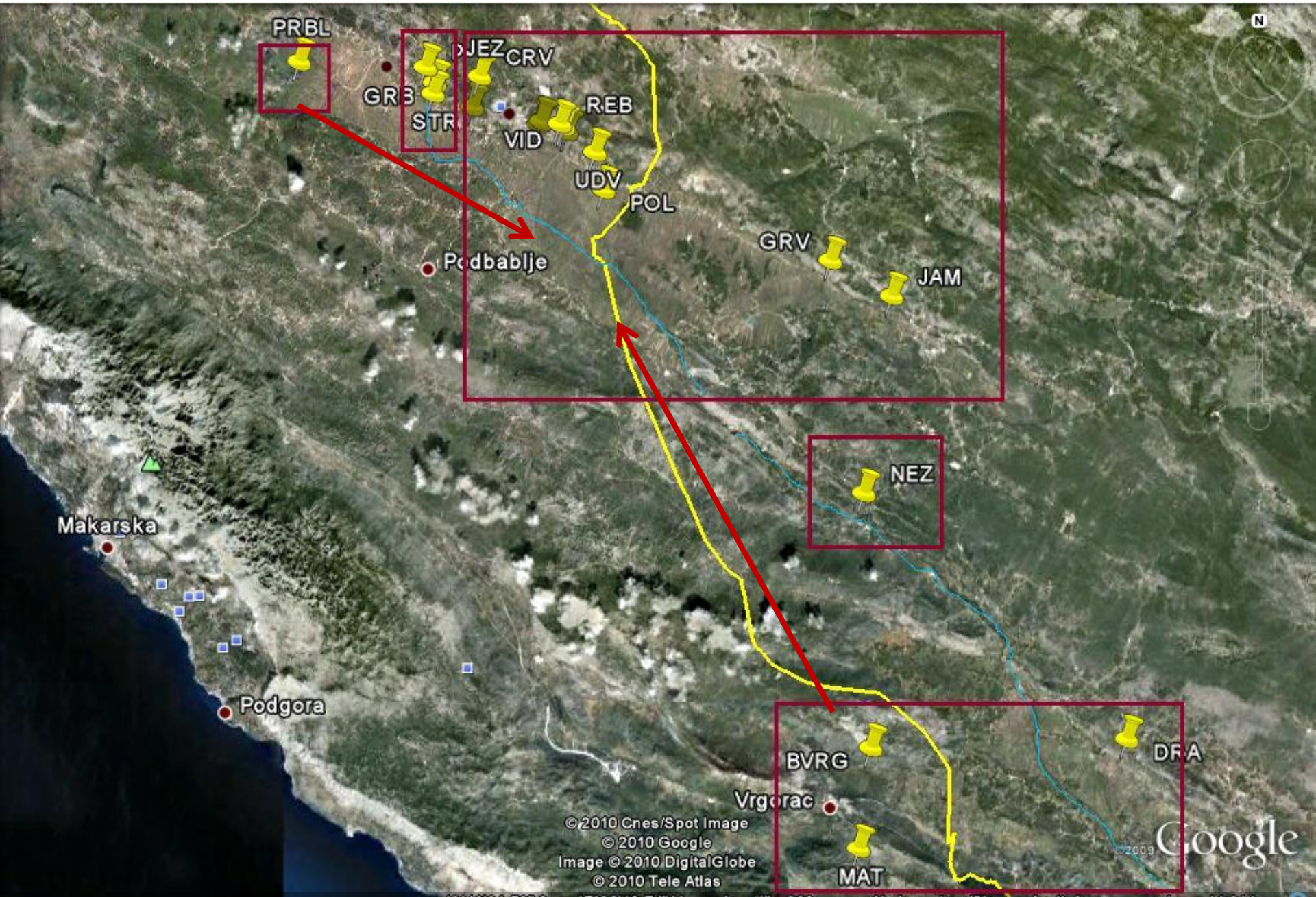
NA- nedovoljno podataka; NS-nesignifikantno; *, **,***-različiti stupnjevi signifikantnosti (p-vrijednost 5, 1 i 0,1 %)

Rezultati-MIKROSATELITI

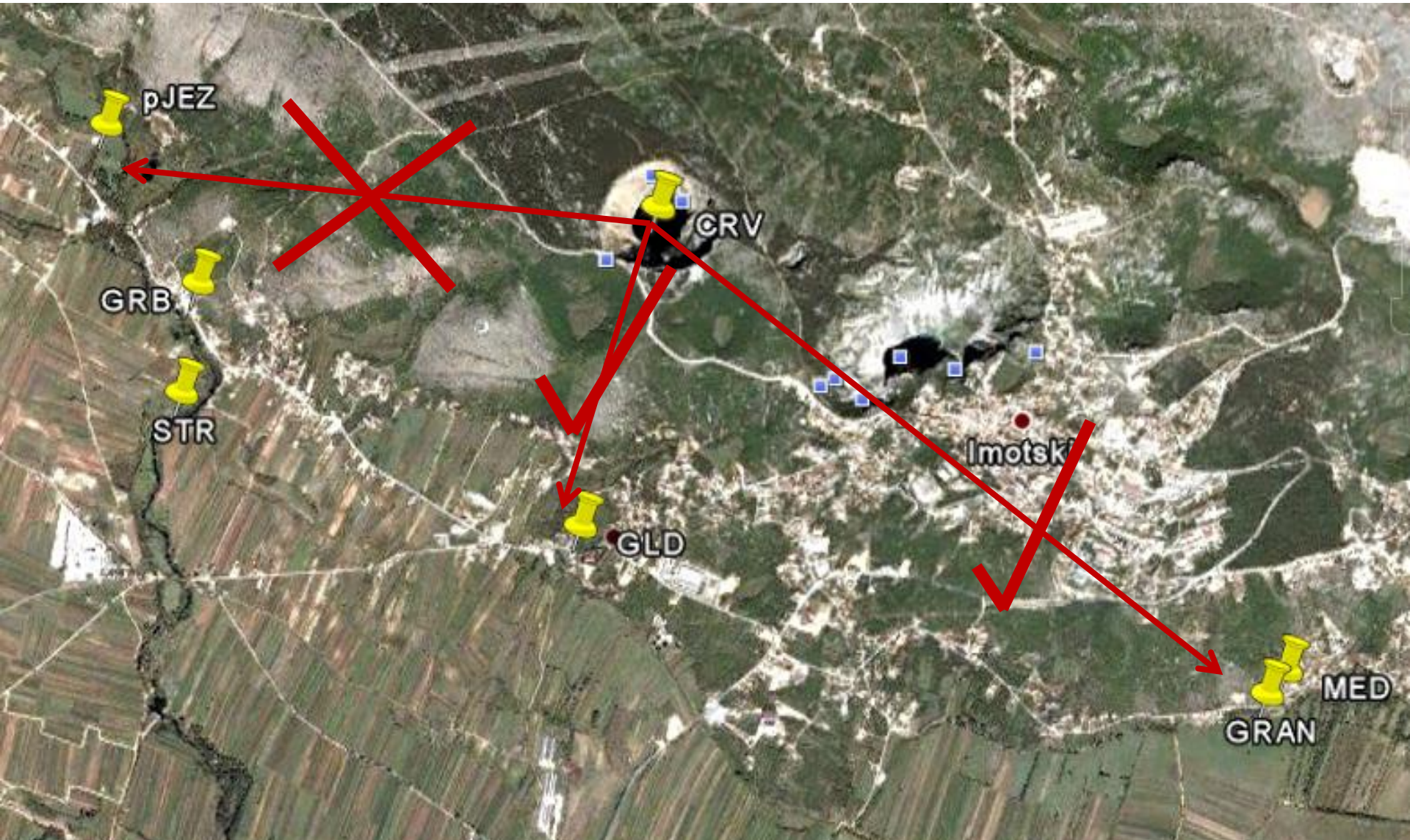
Razpoređivanje u pod-populacije



Rezultati



Rezultati



Zaključci

- Na osnovi mitohondrijske DNK-jedna populacija, Nezdravica malo diferencirana.
- Na osnovi mikrosatelita, najmanje tri populacije.
- Populacija iz Nezdravice izolirana.
- Da bi objasnili demografsku strukturu, moramo pretpostaviti migraciju ispod zemlje!

